

РАССЕЯНИЕ ОЧЕНЬ ХОЛОДНЫХ НЕЙТРОНОВ НА НЕОДНОРОДНОСТЯХ РАЗЛИЧНЫХ ФОРМ

А.В. Антонов, А.И. Исаков, И.В. Мешков, А.Д. Перекрестенко, А.В. Шелагин

УДК 539.27

Предложен метод определения формы, размера и концентрации неоднородностей по поведению зависимости макроскопических сечений рассеяния очень холодных нейтронов от длины волны.

Очень холодные нейтроны (ОНХ), обладающие длиной волны $20 \leq \lambda \leq 10^3 \text{ \AA}$, удобно использовать для исследования неоднородных сред /1,2/. При прохождении через объем мишени ОНХ, описываемые плоской монохроматической волной, испытывают упругое рассеяние на неоднородностях. В средах с низкой концентрацией рассеивателей существенную роль играет форма частиц. Интерес к исследованию излучения, рассеянного несферическими частицами, обусловлен неадекватностью описания рассеянного поля для широкого класса веществ (полимеры, биологические объекты, сверхпроводники II рода, выделения "другой" фазы в сплавах и т. д.) в приближении сфер в прямых задачах, а также стремлением использовать особенности характеристик полей рассеяния для определения формы и размеров такого рода частиц в обратных задачах. В настоящей работе рассчитаны сечения рассеяния ОНХ цилиндром, диском (рассеяние сферой описано в /2/), что дает возможность судить о форме, размере и концентрации рассеивателей по поведению зависимости макроскопических сечений рассеяния от длины волны нейтрона $\Sigma_{Se}(\lambda)$, измеренной по пропусканию пучка нейтронов через мишень.

В эксперименте можно измерить среднюю интенсивность $I_S(\vec{q})$ рассеянного поля $\Psi_S/4$

$$I_S(\vec{q}) = \langle |\Psi_S|^2 \rangle = \left\langle \sum_{j,j'} A_j A_{j'} e^{i\vec{q}(\vec{r}_j - \vec{r}_{j'})} \right\rangle$$

и из дважды дифференциальных сечений $d^2 \sigma / d\Omega dE$ определить корреляционную функцию рассеянного поля

$$K(\vec{r}, \tau) = \left\langle \sum_{j,j'}^N A_j A_{j'} / \exp [i\vec{q}(\vec{r}_j(\tau) - \vec{r}_{j'}(0))] \right\rangle = C N A^2(\vec{q}) S(\vec{q}). \quad (1)$$

Здесь $\vec{q} = \vec{k}_S - \vec{k}_0$ – волновой вектор рассеяния нейтрона, $(\vec{k}_0, \vec{k}_S$ – волновые векторы соответственно до и после рассеяния), A_j – амплитуда рассеяния на j -ом рассеивателе, $\vec{r}_j(\tau)$ – его положение в момент времени τ , N – число рассеивателей, C – постоянная для заданных условий эксперимента, $S(\vec{q}) = \int \exp^{i\vec{q} \cdot \vec{r}} G(\vec{r}, t) d\vec{r}$, $G(\vec{r}, t)$ – корреляционная функция Ван-Хова [3].

Величину $K(\vec{r}, 0)$ обычно находят путем экспериментального определения макроскопического сечения рассеяния нейтронной волны в данной среде $\Sigma_{Se} = \sigma/V$ (σ – полное сечение рассеяния в объеме V). При $\tau = 0$ сумма в (1) по индексам j, j' распадается на две части [3,4], так как $G(\vec{r}, 0) = \delta(\vec{r}) + ng(\vec{r})$, то $S(\vec{q}) = 1 + n \int e^{i\vec{q} \cdot \vec{r}} [g(\vec{r}) - 1] d^3 r$, где n – плотность рассеивателей, $g(\vec{r})$ – их функция распределения, $\delta(\vec{r})$ – дельта-функция.

Для разбавленного раствора твердых сфер радиуса a и для дебаевской функции распределения рассеивателей:

$$g(r) = \begin{cases} 0, & \text{при } r \leq R = 2a, \\ 1, & \text{при } r > R, \end{cases}$$

имеем

$$\langle I_S \rangle = NCA^2(q) \left[1 - \frac{4\pi}{3} R^3 \frac{N}{V} + \frac{4\pi}{3} R^3 \frac{N}{V} \frac{qR}{10} - \dots \right] \cong NCA^2 \times \times \left[1 - 8 \frac{\nu}{V} \right],$$

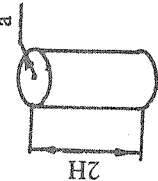
где ν – суммарный объем всех неоднородностей.

Для рассеивателей с размерами $L \sim \lambda$ интенсивность рассеяния уменьшается вследствие интерференционных эффектов. Эти эффекты учитываются с помощью зависящего от угла форм-фактора рассеяния [3,4]

Таблица 1

Форм-факторы $P^2(\Theta)$, сечения рассеяния одной частицы σ_1 и макроскопические сечения рассеяния Σ_{Se}

| Форма | Определение переменных | $P^2(\Theta)$ | σ_1 | $\Sigma_{Se}(k)$ |
|------------|--|--|---|------------------|
| Сфера $/2$ | <p>$a = \text{радиус}; u = qa; q = 2k \sin(\Theta/2), \Theta =$ $\text{угол рассеяния};$</p> $\Theta_0 = \Theta_g / 2, \Theta_g =$ <p>угол на детектор; $\gamma^2 = (\rho_1 b_1 - \rho_2 b_2)^2;$</p> <p>$\rho_i$ — плотность среды; b_i — амплитуда когерентного рассеяния</p> | $\left[\frac{3(\sin u - u \cos u)}{u^3} \right]^3 =$ $= \frac{9\pi}{2} \tau^2 \left(\frac{4\pi a^3}{3} \right)^2 K(ka),$ $K(ka) = \frac{1}{(ka)^2} \left\{ \frac{1}{(2ka \sin \Theta_0)^2} - \right.$ $- \frac{\sin(4ka \sin \Theta_0)}{(2ka \sin \Theta_0)^3} +$ $+ \frac{\sin^2(2ka \sin \Theta_0)}{(2ka \sin \Theta_0)^4} - \frac{1}{(2ka)^2} + \times \text{d}rd\Omega,$ $+ \frac{\sin 4ka}{(2ka)^3} - \frac{\sin^2 2ka}{(2ka)^4} \Bigg\}$ | $n\sigma_1 - \tau^2 n \int \int \int \frac{1}{n_g^2} \times$ $\times 4\pi r^2 V_0^2 [\rho(r) -$ $- \rho_{cp}] \frac{\sin qr}{qr} \times$ $[\rho(r) - \rho_{cp}] -$ <p>Флуктуации плотности в точке r</p> | |

| | | |
|---|---|---|
|  Квадрат | <p>Для случайной ориентации /5/</p> $u = qH, \quad a \ll \lambda, \quad a \ll H$ $\int_0^t \frac{\sin t}{t} dt -$ $-\frac{\sin^2 u}{u^2}$ $-\cos(2kH\sin\Theta_0) +$ $+ 4kHSi(4kH) -$ $- 2kH\sin\Theta_0 Si(2kH\sin\Theta_0) -$ $= \ln(2/\sin\Theta_0) +$ $+ Ci(4kH) - Ci(2kH\sin\Theta_0)$ | $\frac{\pi}{4} \tau^2 (\pi a^2 2H)^2 \left\{ \frac{1}{(kH)^2} [\cos 4kH - n\sigma_1 - 2H\tau^2 n \int_0^\infty \frac{f}{\Omega g} \times \right.$ $\times 2\pi r V_0^2 [\rho(r) -$ $- \rho_{cp}] J_0(qr) dr \times$ $\times d\Omega -$ $4\pi r^2 V_0^2 \left[\frac{1}{(ka)^2} \left\{ \ln(2/\sin\Theta_0) - \right. \right.$ $- \int_{a\sin\Theta_0}^{2ka} \frac{J_1(2x)}{x^2} dx \left. \right] \times$ $\times 4\pi r^2 V_0^2 [\rho(r) -$ $- \rho_{cp}] \frac{\sin qr}{qr} \times$ $\times dr d\Omega$ |
|  Диск | <p>Для случайной ориентации /5/</p> $u = qa, \quad H \ll \lambda$ $\frac{2}{u^2} \left(1 - \frac{J_1(2u)}{u} \right)$ | $n\sigma_1 - \tau^2 n \int_0^\infty \frac{f}{\Omega g} \times$ $\times 4\pi r^2 V_0^2 [\rho(r) -$ $- \rho_{cp}] \frac{\sin qr}{qr} \times$ $\times dr d\Omega$ |

$$P(\Theta) = \left(1/V_0\right) \frac{\int e^{i\vec{q} \cdot \vec{r}} d\vec{r}}{V_0}, \quad (2)$$

где V_0 — объем одного рассеивателя. Выражение (2) справедливо для ОХН при выполнении борновского приближения [2].

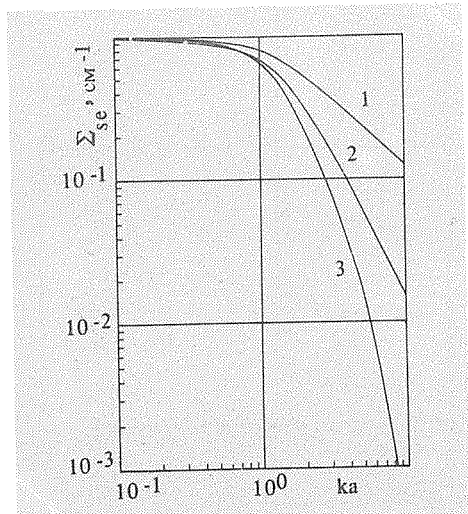
Введем сечение рассеяния одной частицей в телесный угол $\bar{\Omega}_g = 4\pi - \Omega_g$ (Ω_g — телесный угол, под которым "виден" детектор [2]). Тогда

$$\sigma_1(k) = C \int_{\Omega_g} A^2(\vec{q}) S(\vec{q}) d\Omega = CV_0^2 \int_{\Omega_g} |P(\Theta)|^2 S(\vec{q}) d\Omega. \quad (3)$$

Для макроскопического сечения рассеяния имеем

$$\Sigma_{Se}(k) = (N/V) C \int_{\Omega_g} V_0^2 |P(\Theta)|^2 S(\vec{q}) d\Omega. \quad (4)$$

С помощью формул (2) — (4) были получены приведенные в табл. 1 аналитические выражения для σ_1 и Σ_{Se} , соответствующие различным формам рассеивателей (цилиндры, диски, сферы [2]). На рис. 1 приведены зависимости $\Sigma_{Se}(ka)$, рассчитанные для указанных форм рассеивателей. Видно, что в области значений $ka \geq 1$ наблюдается заметное различие в полученных сечениях. Это дает возможность определять форму рассеивателей из сравнения рассчитанных значений с экспериментально полученными данными.



Р и с. 1. Теоретические зависимости $\Sigma_{Se}(ka)$ для рассеивателей в форме цилиндров (1), дисков (2), сфер (3).

В системе хаотически расположенных рассеивателей всегда имеются корреляции. При этом рассеяние оказывается частично когерентным, что уменьшает среднюю интенсивность рассеянной нейтронной волны $\bar{I}_S(\vec{q})$. Чтобы когерентное рассеяние не оказывало существенного влияния на некогерентное, необходимо, чтобы угол Θ_0 был существенно больше угла γ_0 , при котором рассеяние становится некогерентным. Согласно /6/, рассеяние будет когерентным при углах $\gamma < \gamma_0$,

$$\sin(\gamma_0/2) = \frac{6,54 \cdot 10^{-4}}{v'} \cdot (2\pi/l)^{1/4}. \quad (9)$$

Здесь v' — скорость нейтрона в веществе /2/, l — линейный размер мишени. Например, в случае образца Be /2/, $n = 1 \cdot 10^{15} \text{ см}^{-3}$, $l = 0,5 \text{ см}$, для $v' = 10 \text{ м/с}$ имеем $\gamma_0 = 0,5^\circ$. Для сравнения, угол Θ_0 в эксперименте составлял $12,5^\circ$ /2/.

Отметим, что предложенный метод определения формы и размера рассеивателей применим в случае их низких концентраций (не более 10%).

Авторы выражают благодарность А.В. Степанову за обсуждения результатов работы.

Поступила в редакцию 11 июня 1985 г.

ЛИТЕРАТУРА

1. Steyerl A. В кн.: II Школа по нейтронной физике. Тр. II Международной школы по нейтронной физике, Алушта, 1974, Сообщение ОИЯИ ДЗ-7991, Дубна, с. 42.
2. Антонов А. В. и др. ФТТ, 26, 1585 (1984).
3. Гуревич И. И., Тарасов Л. В. Физика нейтронов низких энергий. Наука, М., 1965.
4. Пьюзи П. Н. В сб.: Спектроскопия оптического смещения и корреляции фотонов. Под ред. Г. Камминса и Э. Пайка, Мир, М., 1978.
5. Kerker M. The Scattering of Light and Other Electromagnetic Radiation. Academic Press, N. Y., 1969.
6. Шифрин К. С. Введение в оптику океана. Гидрометеоиздат, Л., 1983.